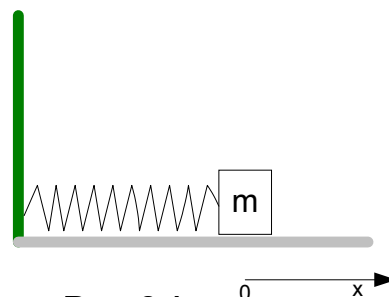


## 8. Dynamika ruchu drgającego i fale w ośrodkach sprężystych.

Wybór i opracowanie zadań 8.1. – 8.35. - Ryszard Twardowski

Wybór i opracowanie zadań 8.36.- 8.45 - Bogusław Kusz

**8.1.** W układzie przedstawionym na rysunku 8.1. masę  $m = 0,01 \text{ kg}$  w chwili  $t = 0 \text{ s}$  odchyłono od położenia równowagi o  $x_0 = 0,01 \text{ m}$  i nadano jej prędkość  $v_0 = 0,4 \text{ m/s}$ . Znaleźć zależność wychylenia, prędkości i przyspieszenia masy  $m$  od czasu. Ile wynosi okres drgań, amplituda i faza początkowa wychylenia masy  $m$ ? Współczynnik sprężystości nieważkiej sprężyny  $k = 10 \text{ N/m}$ . Tarcie zaniedbać.



Rys. 8.1.

**8.2.** W stronę nieruchomej masy  $m$  przedstawionej na rysunku 8.1. porusza się z prędkością  $-v$  ciało o masie  $m$  i zderza się z nią centralnie. Jak długo trwa ruch masy zamocowanej do nieważkiej sprężyny o współczynniku sprężystości  $k$  w przypadku, kiedy a) zderzenie mas jest sprężyste b) zderzenie mas jest niesprężyste, a masy trwale przylegają do siebie? Ile wynosi okres drgań w obu przypadkach? Tarcie zaniedbać.

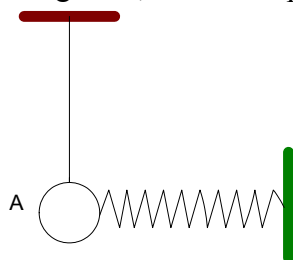
**8.3.** Cząstka wykonuje drgania harmoniczne. W odległościach  $x_1$  i  $x_2$  od położenia równowagi jej prędkości wynoszą  $v_1$  i  $v_2$ . Znaleźć amplitudę i częstość drgań cząstki.

**8.4\*\*.** Cząstka wykonuje drgania harmoniczne zgodnie z równaniem  $x = A \sin(\omega_0 t)$ . Obliczyć prawdopodobieństwo  $p$  znalezienia cząstki w przedziale od  $A/2$  do  $A$ . Otrzymać zależność gęstości prawdopodobieństwa ( $dp/dx$ ) od  $x$ .

**8.5.** W układzie przedstawionym na rys. 8.1. masę  $m$  odciągnięto o  $\Delta x_k$  od położenia równowagi. Długość nieodkształconej sprężyny wynosi  $d$ . O ile przesunął się dowolny punkt sprężyny od położenia równowagi?

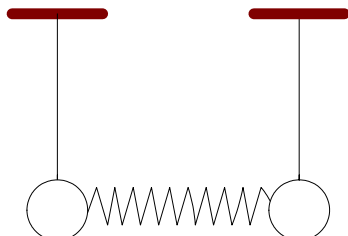
**8.6\*\*.** W układzie przedstawionym na rysunku 8.1. sprężyna o masie  $M$  ma współczynnik sprężystości  $k$ . Masę  $m$  odciągnięto nieco od położenia równowagi i puszczono. Znaleźć okres drgań tego układu.

**8.7\*.** Ile wynosi okres małych drgań kulki A w układzie złożonym z wahadła matematycznego i nieważkiej sprężyny (rys. 8.2.)? Osobno wahadło matematyczne ma okres małych drgań  $T_1$ , a kulka A podwieszona tylko do sprężyny ma okres drgań  $T_2$ .



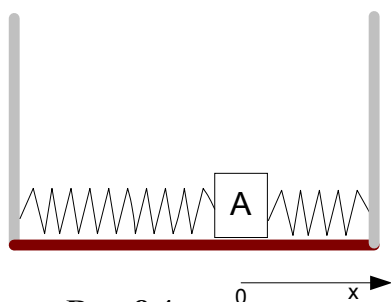
Rys. 8.2.

**8.8.** Dwa wahadła matematyczne o długości  $d$  i masie  $m$  każde połączono za pomocą słabej nieważkiej i nieodkształconej sprężyny o współczynniku sprężystości  $k$  (rys. 8.3.). Znaleźć okres małych drgań w przypadkach a) każde wahadło odchyłono o kąt  $\alpha_0$  w prawo od położenia równowagi, b) pierwsze wahadło odchyłono o kąt  $\alpha_0$  w prawo, drugie o kąt  $\alpha_0$  w lewo od położenia równowagi, c) odchyłono tylko pierwsze wahadło o kąt  $\alpha_0$  w prawo od położenia równowagi. W przypadku c) oblicz odstęp czasu upływającego pomiędzy chwilami czasu, kiedy jedno wahadło przestaje drgać, a drugie wykazuje maksymalne drgania.



**Rys. 8.3.**

**8.9.** Nieważką sprężynę podzielono na dwie, tak, że stosunek ich długości wynosi  $1:2$ . Następnie z tych sprężyn i ciała A zmontowano układ przedstawiony na rysunku 8.4. Obliczyć okres drgań ciała odchylonego od położenia równowagi w kierunku poziomym, jeśli wiadomo, że ciało A zamocowane do całej sprężyny wykonuje drgania o częstotliwości  $f$ . Założyć brak tarcia.



**Rys. 8.4.**

**8.10\*.** Wyobraźmy sobie tunel wydrążony w Ziemi wzdłuż jej osi obrotu. W chwili  $t = 0$  ciało A zaczyna spadać swobodnie z powierzchni Ziemi w głąb tunelu, a ciało B zaczyna spadać w głąb tunelu z odległości  $r = R_Z/2$  od środka Ziemi. Obliczyć czas  $t$ , po którym ciała się spotkają i wskazać miejsce spotkania. Zaniedbać opór powietrza oraz założyć, że Ziemia jest jednorodną kulą o promieniu  $R_Z = 6400 \text{ km}$ .

**8.11\*.** Jednorodny poziomy pręt wiszący na dwóch pionowych linach o długości  $b$  każda i uwiązanych do końców pręta, obrócono o mały kąt wokół nieruchomej pionowej osi przechodzącej przez jego środek. Obliczyć okres wahań pręta.

**8.12.** Wyprowadzić wzór na okres małych drgań wahadła fizycznego wychodząc a) z zasad dynamiki ruchu obrotowego, b) z zasady zachowania energii mechanicznej.

**8.13.** Na końcach cienkiego pręta o długości  $b = 0,3 \text{ m}$  i masie  $m = 0,4 \text{ kg}$  umocowano małe kule o masach  $m_1 = 0,2 \text{ kg}$  i  $m_2 = 0,3 \text{ kg}$ . Pręt z kulami waha się wokół osi poziomej przechodzącej przez jego środek. Obliczyć okres małych wahań.

**8.14\*.** Jednorodny pręt o długości  $b$  wykonuje małe wahania wokół poziomej osi przechodzącej przez pręt i prostopadłej do niego. Dla jakiej odległości między osią a środkiem pręta okres wahań będzie najkrótszy?

**8.15\*.** Ciężarek zawieszony na nieważkiej sprężynie o długości  $d = 10 \text{ cm}$  wykonuje drgania z dekrementem logarytmicznym  $\Lambda = 2\pi$ . Po skróceniu sprężyny dekrement logarytmiczny drgań wynosi  $\Lambda_1 = \pi$ . Obliczyć długość skróconej sprężyny.

**8.16.** W odstępie czasu  $\Delta t_1$  energia drgań w ruchu harmonicznym słabo tłumionym zmalała  $n$ -krotnie. Ile razy zmaleje amplituda drgań w tym ruchu w odstępie czasu  $\Delta t_2$ ?

**8.17\*.** W pewnym ośrodku wahadło matematyczne drga z logarytmicznym dekrementem tłumienia  $\Lambda_0 = 1,5$ . Jaki będzie logarytmiczny dekrement tłumienia  $\Lambda$ , jeśli opór ośrodka wzrośnie  $n = 2$  razy? Ile razy należy zwiększyć opór ośrodka, aby wahadło nie mogło drgać?

**8.18.** Znaleźć logarytmiczny dekrement tłumienia wahadła matematycznego o długości  $d$ , jeśli po czasie  $\tau$  jego energia zmniejszyła się  $n$  razy.

**8.19\*.** Małą kulkę wychylono z położenia równowagi na odległość  $d = 2 \text{ cm}$  i puszczo swobodnie. Logarytmiczny dekrement tłumienia drgań kulki wynosił  $\Lambda = 0,002$ . Jaką drogę przebędzie kulka do chwili zatrzymania się?

**8.20.** W układzie pokazanym na rys. 8.1. masa  $m$  znajduje się w stanie równowagi. W chwili  $t = 0$  do masy  $m$  przyłożono poziomą siłę  $F = F_0 \sin(\omega t)$ . Znaleźć równanie opisujące wychylenie  $x(t)$  masy  $m$  z położenia równowagi. Współczynnik sprężystości nieważkiej sprężyny wynosi  $k$ . Założyć brak tarcia.

**8.21.** Na podstawie wyrażenia na amplitudę wychylenia stacjonarnych drgań wymuszonych otrzymać wzór na częstość rezonansową.

**8.22.** Amplitudy wychylenia punktu wykonującego stacjonarne drgania wymuszone są sobie równe przy częstościach  $\omega_1$  i  $\omega_2$ . Ile wynosi częstość rezonansowa?

**8.23.** Amplitudy prędkości punktu wykonującego stacjonarne drgania wymuszone są sobie równe przy częstościach  $\omega_1$  i  $\omega_2$ . Ile wynosi częstość drgań własnych?

**8.24\*\*.** Ciało o masie  $m$  wykonuje stacjonarne drgania pod wpływem siły  $F = F_0 \cos(\omega t)$  w ośrodku o współczynniku tłumienia  $\beta$ . Obliczyć średnią moc siły oporu ośrodka, częstość drgań własnych wynosi  $\omega_0$ . Wykazać, że suma średniej mocy siły oporu ośrodka i średniej mocy siły  $F$  wynosi zero.

**8.25\*.** Obliczyć średnią energię kinetyczną i średnią energię potencjalną siły sprężystości ciała o masie  $m$  wykonującego stacjonarne drgania wymuszone o równaniu  $x = D \cos(\omega t + \varphi)$ . Częstość drgań własnych wynosi  $\omega_0$ .

**8.26.** W pewnym ośrodku wzdłuż osi  $y$  przemieszcza się monochromatyczna harmoniczna fala płaska o długości  $\lambda$ . Znaleźć różnicę faz drgań cząstek ośrodka znajdujących się na równoległych płaszczyznach A i B oddalonych od siebie o  $\Delta y$ . Płaszczyzny te są prostopadłe do osi  $y$ .

**8.27\*.** W jednorodnym ośrodku sprężystym o gęstości  $\rho_0$  rozchodzi się fala płaska

$$s(x,t) = s_0 \cos(\omega t - kx).$$

Sporządzić wykresy dla  $t = \pi/\omega$

- zależności  $s(x)$ ,  $(\partial s/\partial t)(x)$ ,  $(\partial s/\partial x)(x)$ ,
- zaznaczyć na wykresie dla  $s = 0$  kierunki prędkości cząstek ośrodka dla fali podłużnej i poprzecznej,
- zależności gęstości ośrodka  $\rho(x)$  dla fali podłużnej.

**8.28.** Wykazać, że ogólne równanie fali płaskiej w postaci

$$s(\vec{r},t) = s_0 \cos(\omega t - \vec{k}\vec{r} + \varphi)$$

spełnia równanie falowe.

**8.29.** W zamocowanej na końcach strunie o długości  $b = 120 \text{ cm}$  wytworzono falę stojącą. W punktach oddalonych od siebie o  $d_1 = 15 \text{ cm}$  i  $d_2 = 5 \text{ cm}$  amplituda tej fali jest równa  $A_1 = 3,5 \text{ mm}$ . Znaleźć maksymalną amplitudę tej fali. Której harmonicznej odpowiada ta fala?

**8.30.** W ośrodku o gęstości  $\rho$  wytworzono mechaniczną podłużną falę stojącą. Wychylenie cząsteczek ośrodka opisane jest równaniem:  $s = 2s_0 \cos(kx) \cos(\omega t)$ . Obliczyć średnią gęstość energii kinetycznej i średnią gęstość energii potencjalnej ruchu falowego w węzłach i w strzałkach.

**8.31\*\*.** W punktach  $Z_1$  i  $Z_2$  osi  $x$ , oddalonych o  $d$  od siebie, umieszczono źródła monochromatycznych płaskich fal harmoniczych o jednakowych kierunkach drgań i rozchodzących się zgodnie ze zwrotem osi  $x$ . Znaleźć średnią gęstość energii ruchu falowego w punkcie  $P$  na osi  $x$ . Założyć, że do punktu  $P$  dochodzą z obydwu źródeł fale o równaniach odpowiednio

$$s_1 = s_{01} \cos(\omega_1 t - k_1 x + \varphi_1) \quad \text{ i } \quad s_2 = s_{02} \cos(\omega_2 t - k_2 (x - d) + \varphi_2).$$

Zbadać przypadki a) fale są niespójne, b) fale są spójne. Ośrodek jest niedyspersyjny.

**8.32.** W trzech równoodległych punktach znajdujących się na jednej prostej dokonano pomiaru natężenia fali emitowanej przez to samo źródło punktowe. Gdzie znajduje się źródło fali, jeżeli natężenie fali w punktach skrajnych jest jednakowe, a w punkcie środkowym większe o  $p = 10\%$ ? Odległość między punktem środkowym a punktami skrajnymi wynosi  $a = 10 \text{ m}$ . Przyjąć a) fale są kuliste, b) fale są koliste.

**8.33.** Punktowe źródło fal o mocy  $P$  znajduje się w środku walca o promieniu  $R$  i wysokości  $h$ . Przyjmując, że ścianki walca całkowicie tłumią fale, obliczyć średni strumień energii padający na boczną powierzchnię walca.

**8.34.** Dwa ciągi fal płaskich o długościach  $\lambda_1$  i  $\lambda_2$  przemieszczają się w tym samym kierunku w ośrodku dyspersyjnym o dyspersji  $d$ . Prędkość grupowa fali wypadkowej wynosi  $v_g$ . Znaleźć częstotliwości tych fal.

**8.35.** W pewnym ośrodku dwie płaskie fale harmoniczne tworzą grupę opisaną równaniem:

$$s = 0,005 \cos(20x - 6500t) \cos(0,5x - 160t),$$

gdzie współczynniki liczbowe są wyrażone w układzie SI. Obliczyć stosunek prędkości fazowej do prędkości grupowej.

**8.36.** Zważyłem się na wadze sprężynowej („łazienkowej”). Podczas ważenia szalka wagi obniżyła się o  $D=1\text{cm}$  a waga wskazała  $m=100\text{kg}$ . Oblicz współczynnik sprężystości oraz energię potencjalną zgromadzoną w sprężynie.

**8.37\*.** Podczas skoku z mostu o wysokości  $H=17\text{m}$  na gumie „bungee” skoczek o masie  $m=75\text{kg}$  osiągnął minimalną wysokość na poziomie  $D=2\text{m}$  nad wodą. Po ustaniu drgań o okresie  $T=2\text{s}$  skoczek swobodnie zwisał na wysokości  $h=6\text{m}$ . Zakładając, że tarcie występujące w układzie jest proporcjonalne do prędkości rozciągania gumy, oszacuj:

a/ energię potencjalną gumy w chwili gdy skoczek osiągnął poziom  $D$ ,

b/ straty energii jakie nastąpiły do chwili gdy skoczek osiągnął poziom  $D$ ,

c/ oszacuj wartość maksymalnego przyspieszenia działającego na skoczka,

d/ narysuj prawdopodobny wykres zmian położenia, prędkości i przyspieszenia skoczka w funkcji czasu.

Uwaga: długość liny wynosi  $L=10\text{m}$ , masę liny i opory powietrza zaniedbać,  $V(0)=0$ .

**8.38.** Na linie o długości  $L$  wisi tarcza o masie  $m$ . W tarczę trafia lecąca poziomo z prędkością  $V_0$  kulka o masie  $m$ . Napisz równanie ruchu tarczy po zderzeniu: a/ z kulką gumową (zderzenie sprężyste), b/ z kulką plasteliny (zderzenie niesprężyste). Założenie: układ można opisać jak wahadło matematyczne a zderzenie kuli z tarczą jest zderzeniem centralnym.

**8.39.** Opisz ruch układu z zadania 38 wiedząc, że w układzie występuje tłumienie opisane logarytmicznym dekrementem tłumienia  $\Lambda$ .

**8.40.** Oszacować, dla jakich wartości logarytmicznego dekrementu tłumienia  $\Lambda$  można zastosować przybliżenie  $\Lambda = \beta T \approx \beta T_0$  z błędem mniejszym niż 1%.

**8.41.** Płytką kwarcową o częstotliwości drgań własnych  $f_0=10\text{MHz}$  została wzbudzona do drgań swobodnych tłumionych. Po jakim czasie energia zgromadzona w płytce zmaleje do połowy, jeśli logarytmiczny dekrement tłumienia  $\Lambda=0,001$  ?

**8.42.** Szarpnięty przez rybę szałwik (w kształcie patyka) wpadł w drgania tłumione. Po czasie  $t_8=4T=4\text{s}$  ( $T$ -okres drgań) amplituda drgań zmalała 8 razy. Oblicz logarytmiczny dekrement tłumienia oraz częstotliwość drgań własnych szałwika.

**8.43.** Jakie maksymalne wskazanie odczytamy z wagi sprężynowej (łazienkowej) jeśli skoczmy na jej szalkę z wysokości  $h=12\text{cm}$  ? Dane:  $m=100\text{kg}$  - masa ciała,  $D=1\text{cm}$  - obniżenie szalki przy statycznym obciążeniu. Masę szalki można zaniedbać.

**8.44.** Do jednego końca sprężyny o stałej  $k=2/\sqrt{3}\text{N/m}$  dołączono małą kulkę o masie  $m=0,01\text{kg}$ . Trzymając sprężynę za jej drugi koniec wprowadzono kulkę  $m$  w ruch po okręgu w płaszczyźnie poziomej z prędkością  $V=0,76\text{m/s}$ . Sprężyna wydłużyła się dwukrotnie. Oblicz promień toru kulki. Założenie: masa sprężyny jest do zaniedbania a jej oś porusza się pod stałym kątem do pionu.

**8.45.** Pewną falę opisano równaniem:  $s(x,t)=10^{-6}\sin(2040\pi t - 6\pi x)$ . Co można wywnioskować z tego opisu? Uwaga: wielkości w równaniu podane są w układzie SI.

**8.46.** Opisz równaniem mechaniczną falę poprzeczną poruszającą się w kierunku  $(-\infty)$  osi  $y$  o amplitudzie  $A$ , długości fali  $\lambda$  i prędkości  $V$ .

**8.47.** Jakie fale stojące można wzbudzić w następujących układach:

- a/ pręt metalowy o długości  $L$  zamocowany na jednym końcu,
- b/ pręt metalowy o długości  $L$  zamocowany na obu końcach,
- c/ pręt metalowy o długości  $L$  zamocowany w punkcie odległym o  $0,25L$  od końca,
- d/ w pustej szklance o wysokości  $H$ ,
- e/ w rurce plastikowej o długości  $L$ .

**8.48.** Wiszący most w Tacoma (US) zniszczył w 1940 roku wiatr o prędkości około 70km/h wiejący prostopadle do linii mostu. Wiatr spowodował powstanie drgań rezonansowych całego mostu o amplitudzie rzędu metrów. Naszkicuj prawdopodobny kształt mostu tuż przed całkowitym zniszczeniem.

Uwaga: przyjąć, że most wiszący to zamocowana na końcach, wisząca na linach jezdnia o długości około 2000m szerokości 20m i grubości 3m.

**8.49.** Prędkość fazowa fal powierzchniowych na wodzie silnie zależy od mechanizmu ich przemieszczania. Gdy decyduje o tym napięcie powierzchniowe (dla fal krótkich  $\lambda < 2\text{cm}$ ), ich

prędkość wyraża się wzorem:  $V_f = \sqrt{\frac{2\pi\sigma}{\rho\lambda}}$  gdzie  $\sigma$  jest napięciem powierzchniowym wody.

Kiedy siła ciężkości jest główną przyczyną rozchodzenia się fal na wodzie ich prędkość

można opisać wzorem:  $V_f = \sqrt{\frac{g\lambda}{2\pi}}$  gdzie  $g$ - przyspieszenie ziemskie. Ile wynosi prędkość

grupowa fal krótkich i długich w stosunku do ich prędkości fazowych ?

**8.50.** Grupa fal wywołana przez przepływającą motorówkę porusza się z prędkością 1m/s. Znaleźć średnią prędkość fazową i długość fal w tej grupie?

## Rozwiązania

**8.1.R.** Równanie ruchu masy  $m$  ma postać:

$$(1) \quad ma = F_s,$$

gdzie:

$$a = \frac{d^2x}{dt^2} \equiv \ddot{x}, \quad F_s = -kx.$$

Porządkując równanie (1) otrzymamy równanie ruchu harmonicznego prostego

$$(2) \quad \ddot{x} + \omega_0^2 x = 0, \quad \omega_0^2 = \frac{k}{m}.$$

Szukamy nietrywialnego rozwiązania równania (2) w postaci  $x = Ce^{rt}$  ( $C \neq 0$ ). Obliczając drugą pochodną względem czasu z tak zastrzeżonego rozwiązania i wstawiając do równania (2) otrzymamy:

$$Ce^{rt}(r^2 + \omega_0^2) = 0$$

skąd mamy równanie charakterystyczne

$$(3) \quad r^2 + \omega_0^2 = 0.$$

Równanie (3) posiada dwa pierwiastki:

$$r_1 = i\omega_0 \quad \text{oraz} \quad r_2 = -i\omega_0, \quad \text{gdzie} \quad i = \sqrt{-1}.$$

Tak, więc równanie (2) ma dwa liniowo niezależne rozwiązania:

$$x_1 = C_1 e^{i\omega_0 t}, \quad x_2 = C_2 e^{-i\omega_0 t},$$

gdzie  $C_1$  i  $C_2$  są stałymi. Rozwiązanie ogólne równania (2) jest kombinacją liniową tych rozwiązań

$$(4) \quad x = C_1 e^{i\omega_0 t} + C_2 e^{-i\omega_0 t}$$

Równanie (4) zazwyczaj przedstawia się w postaci trygonometrycznej korzystając z wzorów Eulera

$$x = C_1 [\cos(\omega_0 t) + i \sin(\omega_0 t)] + C_2 [\cos(\omega_0 t) - i \sin(\omega_0 t)] = A \cos(\omega_0 t) + B \sin(\omega_0 t),$$

gdzie:  $A = C_1 + C_2$ ,  $B = i(C_1 - C_2)$ .

Stałe  $A$  i  $B$  znajdujemy z warunków początkowych:  $x(t=0) = x_0$ ,  $v(t=0) = \dot{x}(t=0) = v_0$

$$x_0 = A \cos(\omega_0 0) + B \sin(\omega_0 0) = A$$

$$v_0 = -A\omega_0 \sin(\omega_0 0) + B\omega_0 \cos(\omega_0 0) = B\omega_0 \Rightarrow B = \frac{v_0}{\omega_0}.$$

Zależność wychylenia masy  $m$  od czasu przedstawia się, więc następująco:

$$(5) \quad x = x_0 \cos(\omega_0 t) + \frac{v_0}{\omega_0} \sin(\omega_0 t).$$

Równanie (5) można przedstawić w postaci np. kosinusowej

$$(6) \quad x = D \cos(\omega_0 t + \varphi_0), \quad \text{gdzie} \quad D = (x_0^2 + \frac{v_0^2}{\omega_0^2})^{1/2},$$

$$\cos(\varphi_0) = \frac{x_0}{D}, \quad \sin(\varphi_0) = -\frac{v_0}{\omega_0 D}, \quad \text{lub} \quad \operatorname{tg}(\varphi_0) = -\frac{v_0}{\omega_0 x_0},$$

co łatwo pokazać przez sprawdzenie.

Na podstawie równań (6) uzyskamy  $D = 0,016 \text{ m}$  i  $\varphi_0 = -0,902$  radianów. Okres drgań wynosi

$$T = \frac{2\pi}{\omega_0} = 2\pi \sqrt{\frac{m}{k}}$$

i po wstawieniu danych liczbowych  $T = 0,2 \text{ s}$ .

Na podstawie równań (6) otrzymamy zależność prędkości  $v$  i przyspieszenia  $a$  masy  $m$  od czasu

$$v = -D\omega_0 \sin(\omega_0 t + \varphi_0) = D\omega_0 \cos(\omega_0 t + \varphi_0 + \pi/2),$$

$$a = -D\omega_0^2 \cos(\omega_0 t + \varphi_0) = D\omega_0^2 \cos(\omega_0 t + \varphi_0 + \pi).$$

## 8.2.R.

### a) Zderzenie sprężyste

W przypadku tego zderzenia ciało uderzające zatrzyma się, a ciało zamocowane do sprężyny zacznie ruch, w którym jego wychylenie można opisać równaniem (patrz zad.8.1.)

$$(1) \quad x = A \cos(\omega_0 t) + B \sin(\omega_0 t), \quad \omega_0 = \sqrt{\frac{k}{m}}.$$

W przyjętym na rysunku 8.1. układzie współrzędnych warunki początkowe tego ruchu można zapisać  $x_0 = 0$  i  $v_0 = -v$ . Wykorzystując równanie (1) i warunki początkowe otrzymujemy stałe  $A$  i  $B$

$$0 = A \cos(\omega_0 0) + B \sin(\omega_0 0), \Rightarrow A = 0,$$

$$-v = -A\omega_0 \sin(\omega_0 0) + B\omega_0 \cos(\omega_0 0), \Rightarrow B = -\frac{v}{\omega_0},$$

czyli



$$x = -\frac{v}{\omega_0} \sin(\omega_0 t).$$

Ruch masy zamocowanej do sprężyny nie będzie ruchem okresowym i będzie trwał do chwili jej powrotu do położenia równowagi. Czas trwania tego ruchu  $t_1$  można obliczyć z równania

$$\omega_0 t_1 = \pi \quad \Rightarrow \quad t_1 = \frac{\pi}{\omega_0} = \pi \sqrt{\frac{m}{k}}.$$

W chwili  $t_1$  masa zamocowana do sprężyny zatrzyma się przekazując swój pęd do drugiej masy, która zacznie oddalać się od niej z prędkością  $v$ .

#### b) Zderzenie niesprężyste

W tym przypadku masa uderzająca przylgnie do masy zamocowanej do sprężyny. Wspólną prędkość mas  $v_0$  można obliczyć z zasady zachowania pędu. W przyjętym układzie współrzędnych

$$-mv = 2mv_0, \quad \Rightarrow \quad v_0 = -\frac{v}{2}.$$

Rozpocznie się ruch harmoniczny prosty z warunkami początkowymi  $x_0 = 0$ ,  $v_0 = -v/2$  i z częstością  $\omega_0 = (k/2m)^{1/2}$ . Ruch ten będzie trwał nieskończenie długo (zaniedbaliśmy tarcie), a jego okres wyraża się wzorem:

$$T = \frac{2\pi}{\omega_0} = 2\pi \sqrt{\frac{2m}{k}}.$$

#### 8.3.R.

$$A = \sqrt{\frac{v_1^2 x_2^2 - v_2^2 x_1^2}{v_1^2 - v_2^2}}, \quad \omega_0 = \sqrt{\frac{v_1^2 - v_2^2}{x_2^2 - x_1^2}}.$$

**8.4.R.** W ciągu okresu drgań  $T$  cząstka przebywa w przedziale od  $-A$  do  $A$ . W przedziale od  $1/2 A$  do  $A$  cząstka przebywa w ciągu czasu  $\Delta t = 2(t_A - t_{(1/2)A})$ , gdzie  $t_{(1/2)A}$  i  $t_A$  wyznaczmy z równania ruchu cząstki

$$\frac{1}{2}A = A \sin(\omega_0 t_{(1/2)A}), \quad \Rightarrow \quad t_{(1/2)A} = \frac{\arcsin(1/2)}{\omega_0},$$

$$A = A \sin(\omega_0 t_A), \quad \Rightarrow \quad t_A = \frac{\arcsin(1)}{\omega_0},$$

$$(1) \quad \Delta t = \frac{2[\arcsin(1) - \arcsin(1/2)]}{\omega_0}.$$

Szukane prawdopodobieństwo  $p$  określić można z relacji

$$(2) \quad p = \frac{\Delta t}{T} = \frac{\omega_0 \Delta t}{2\pi} = \frac{\arcsin(1) - \arcsin(1/2)}{\pi} = \frac{1}{3}.$$

Gęstość prawdopodobieństwa  $\rho = dp/dx$  można obliczyć korzystając z równania (2)

$$\Delta p = \frac{\arcsin(\frac{x + \Delta x}{A}) - \arcsin(\frac{x}{A})}{\pi} = \frac{\Delta x}{\pi A} \frac{\arcsin(\frac{x + \Delta x}{A}) - \arcsin(\frac{x}{A})}{\frac{\Delta x}{A}}, \quad \Rightarrow$$

$$(3) \quad \frac{\Delta p}{\Delta x} = \frac{1}{\pi A} \frac{\arcsin(\frac{x + \Delta x}{A}) - \arcsin(\frac{x}{A})}{\frac{\Delta x}{A}},$$

przechodząc w równaniu (3) do granicy  $\Delta x \rightarrow 0$  otrzymamy:

$$\rho(x) = \frac{dp}{dx} = \frac{1}{\pi \sqrt{A^2 - x^2}}.$$

Poleca się czytelnikowi naszkicować wykres tej funkcji.

**8.5.R.** Przyjmując początek osi  $x$  w punkcie zamocowania sprężyny do ściany otrzymamy

$$\Delta x = \Delta x_k \frac{x}{d}.$$

**8.6\*.R.** Wskazówka. Każdy element  $dM$  sprężyny o długości  $d$  wykonuje ruch harmoniczny z częstością  $\omega_0$ . Energię kinetyczną takiego fragmentu można zapisać

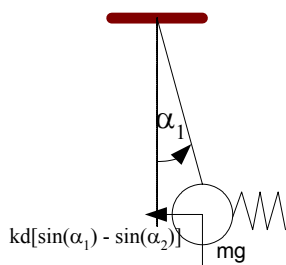
$$dE_k = \frac{1}{2} dM v^2, \quad dM = \frac{M}{d} dx, \quad v = -(\Delta x_k \frac{x}{d}) \omega_0 \sin(\omega_0 t) \quad (\text{patrz zad. 8.5}).$$

$$T = 2\pi \sqrt{\frac{m + M/3}{k}}.$$

**8.7.R.**

$$T = \frac{T_1 T_2}{\sqrt{T_1^2 + T_2^2}}.$$

**8.8.R.** Dla małych kątów suma momentów siły ciężkości i siły sprężystości względem osi obrotu dla lewego wahadła wynosi (patrz rys. 8.8.R.):



**Rys. 8.8.R.**

$M_1 = -mgd \sin(\alpha_1) - k[d \sin(\alpha_1) - d \sin(\alpha_2)]d \cos(\alpha_1) \cong -mgd\alpha_1 - kd^2(\alpha_1 - \alpha_2)$ .  
Stąd równanie ruchu obrotowego tego wahadła ma postać

$$I\varepsilon_1 = M_1, \quad \Rightarrow md^2\ddot{\alpha}_1 = -mgd\alpha_1 - kd^2(\alpha_1 - \alpha_2) \quad \Rightarrow \ddot{\alpha}_1 + \frac{g}{d}\alpha_1 + \frac{k}{m}(\alpha_1 - \alpha_2) = 0.$$

Podobnie otrzymamy dla drugiego wahadła i będziemy mieli układ równań

$$(1) \quad \ddot{\alpha}_1 + \frac{g}{d}\alpha_1 + \frac{k}{m}(\alpha_1 - \alpha_2) = 0,$$

$$(2) \quad \ddot{\alpha}_2 + \frac{g}{d}\alpha_2 + \frac{k}{m}(\alpha_2 - \alpha_1) = 0.$$

Oznaczając  $\alpha_1 + \alpha_2 = \beta$  i  $\alpha_1 - \alpha_2 = \gamma$  oraz dodając lub odejmując stronami równania (1) i (2) dostaniemy

$$(3) \quad \ddot{\beta} + \omega_m^2\beta = 0, \quad \omega_m^2 = \frac{g}{d},$$

$$(4) \quad \ddot{\gamma} + \omega_s^2\gamma = 0, \quad \omega_s^2 = \frac{g}{d} + \frac{2k}{m}.$$

Widzimy więc, że  $\beta$  i  $\gamma$  spełniają równanie ruchu harmonicznego prostego. Ogólne rozwiązania dla  $\beta$  i  $\gamma$  można przedstawić w postaci trygonometrycznej (patrz zad.8.1.)

$$(5) \quad \alpha_1 + \alpha_2 = A \cos(\omega_m t) + B \sin(\omega_m t),$$

$$(6) \quad \alpha_1 - \alpha_2 = C \cos(\omega_s t) + D \sin(\omega_s t).$$

Założenia zadania sugerują następujące warunki początkowe:  $\alpha_1(t=0) = \alpha_{10}$ ,  $\alpha_2(t=0) = \alpha_{20}$ ,

$\dot{\alpha}_1(t=0) = 0$  i  $\dot{\alpha}_2(t=0) = 0$ . Z równań (5), (6) i warunków początkowych mamy

$$(7) \quad \alpha_1 + \alpha_2 = (\alpha_{10} + \alpha_{20}) \cos(\omega_m t),$$

$$(8) \quad \alpha_1 - \alpha_2 = (\alpha_{10} - \alpha_{20}) \cos(\omega_s t).$$

Układ równań (7) i (8) pozwala obliczyć  $\alpha_1$  i  $\alpha_2$

$$(9) \quad \alpha_1 = \frac{\alpha_{10} + \alpha_{20}}{2} \cos(\omega_m t) + \frac{\alpha_{10} - \alpha_{20}}{2} \cos(\omega_s t),$$

$$(10) \quad \alpha_2 = \frac{\alpha_{10} + \alpha_{20}}{2} \cos(\omega_m t) - \frac{\alpha_{10} - \alpha_{20}}{2} \cos(\omega_s t).$$

Możemy przedyskutować teraz poszczególne przypadki.

a) Tu  $\alpha_{10} = \alpha_0$  i  $\alpha_{20} = \alpha_0$ , więc z (9) i (10) mamy

$$\alpha_1 = \alpha_2 = \alpha_0 \cos(\omega_m t).$$

Sprężyna nie wpływa na ruch wahadeł matematycznych.

b) Tu  $\alpha_{10} = \alpha_0$  i  $\alpha_{20} = -\alpha_0$ , więc z (9) i (10) mamy

$$\begin{aligned} \alpha_1 &= \alpha_0 \cos(\omega_s t), \\ \alpha_2 &= -\alpha_0 \cos(\omega_s t). \end{aligned}$$

Sprężyna jest odkształcona, więc wpływa na ruch wahadeł, które drgają w przeciwfazie z częstością

$$\omega_s = \sqrt{\frac{g}{d} + \frac{2k}{m}},$$

jednak wpływ ten jest niewielki, ponieważ sprężyna jest słaba i częstość drgań wahadeł jest bliska  $\omega_m$ .

c)  $\alpha_{10} = \alpha_0$  i  $\alpha_{20} = 0$ , więc z (9) i (10) otrzymamy

$$(11) \quad \alpha_1 = \frac{\alpha_0}{2} \cos(\omega_m t) + \frac{\alpha_0}{2} \cos(\omega_s t),$$

$$(12) \quad \alpha_2 = \frac{\alpha_0}{2} \cos(\omega_m t) - \frac{\alpha_0}{2} \cos(\omega_s t).$$

Mamy tu do czynienia ze zjawiskiem dudnień, gdyż częstości  $\omega_m$  i  $\omega_s$  niewiele się różnią od siebie (sprężyna jest słaba), aby to uwidocznić wygodnie jest przedstawić równania (11) i (12) w postaci

$$(13) \quad \alpha_1 = \alpha_0 \cos\left(\frac{\omega_s - \omega_m}{2} t\right) \cos\left(\frac{\omega_s + \omega_m}{2} t\right),$$

$$(14) \quad \alpha_2 = \alpha_0 \sin\left(\frac{\omega_s - \omega_m}{2} t\right) \sin\left(\frac{\omega_s + \omega_m}{2} t\right).$$

Częstość  $\omega_s$  (równanie(4)) można przedstawić w formie

$$\omega_s = \sqrt{\frac{g}{d} + \frac{2k}{m}} = \omega_m \sqrt{1 + \frac{2k}{m\omega_m^2}} \cong \omega_m + \frac{k}{m\omega_m},$$

ponieważ  $\frac{2k}{m\omega_m^2} \ll 1$  (sprężyna jest słaba), wtedy równania (13) i (14) przyjmą postać

$$\begin{aligned} \alpha_1 &\cong \alpha_0 \cos\left(\frac{k}{2m\omega_m} t\right) \cos(\omega_m t) = A_1(t) \cos(\omega_m t), & A_1(t) &= \alpha_0 \cos\left(\frac{k}{2m\omega_m} t\right), \\ \alpha_2 &\cong \alpha_0 \sin\left(\frac{k}{2m\omega_m} t\right) \sin(\omega_m t) = A_2(t) \sin(\omega_m t), & A_2(t) &= \alpha_0 \sin\left(\frac{k}{2m\omega_m} t\right). \end{aligned}$$

Moduły  $A_1(t)$  i  $A_2(t)$  są wolno zmiennymi w czasie amplitudami kątowymi odchyłeń wahadeł od położenia równowagi. Okres dudnień  $T_d$  określimy z równania

$$\frac{k}{2m\omega_m} (t + T_d) - \frac{k}{2m\omega_m} t = \pi, \quad \Rightarrow T_d = \frac{2\pi m \omega_m}{k} = \frac{2\pi m}{k} \sqrt{\frac{g}{d}},$$

gdyż okres funkcji  $|\cos(x)|$  wynosi  $\pi$ . Odstęp czasu  $T_{12}$  pomiędzy maksymalnymi drganiami poszczególnych wahadeł wynosi

$$T_{12} = \frac{T_d}{2} = \frac{\pi m}{k} \sqrt{\frac{g}{d}}.$$

**8.9.R.**

$$T = \frac{\sqrt{2}}{3f}.$$

**8.10.R.** Wskazówka: udowodnić, że ruch każdego z ciał jest ruchem harmonicznym. Otrzymać można wtedy odpowiedź:

$$t = \frac{\pi}{2} \sqrt{\frac{R_Z}{g}} \cong 21 \text{ minut},$$

a miejscem spotkania jest środek Ziemi.

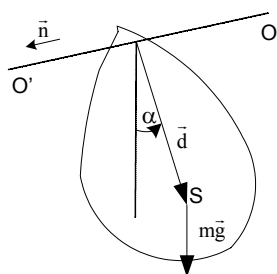
**8.11.R.**

$$T = 2\pi\sqrt{\frac{b}{3g}}.$$

**8.12.R.**

a) Równanie opisujące ruch obrotowy wahadła względem poziomej osi obrotu  $OO'$  (patrz rys.8.12.R.) ma postać:

$$(1) \quad I\ddot{\epsilon} = \vec{M},$$

**Rys. 8.12.R.**

gdzie:  $I$  – moment bezwładności bryły względem osi  $OO'$ ,  $\ddot{\epsilon}$  - wektor przyspieszenia kątownego,  $\vec{M}$  - wektor momentu siły ciężkości względem osi  $OO'$ . Rozpisując

$$\vec{M} = \vec{d} \times m\vec{g} = -mgd \sin(\alpha)\vec{n}, \quad \ddot{\epsilon} = \ddot{\alpha}\vec{n}, \quad |\vec{n}| = 1,$$

gdzie  $d$  jest odległością środka masy od osi obrotu. Na podstawie równania (1) mamy

$$I\ddot{\alpha}\vec{n} = -mgd \sin(\alpha)\vec{n}.$$

Porządkując to równanie i stosując przybliżenie  $\sin(\alpha) \cong \alpha$  dostaniemy

$$(2) \quad \ddot{\alpha} + \frac{mgd}{I}\alpha = 0.$$

Równanie (2) jest równaniem ruchu harmonicznego prostego o kołowej częstotliwości drgań

$$(3) \quad \omega_0 = \sqrt{\frac{mgd}{I}} \Rightarrow T = \frac{2\pi}{\omega_0} = 2\pi\sqrt{\frac{I}{mgd}}.$$

b) Z zasady zachowania energii mechanicznej mamy

$$\frac{1}{2}I\omega^2 + mgd[1 - \cos(\alpha)] = \text{const..}$$

Różniczkując powyższe równanie względem czasu i porządkując otrzymamy równanie (2) i (3).

**8.13.R.**

$$T = 2\pi \sqrt{\frac{b}{6g} \frac{m + 3m_1 + 3m_2}{m_2 - m_1}} \cong 1,9s, \quad (\text{patrz zad.8.12.}).$$

**8.14.R.** Wskazówka: wykorzystując wzór na okres drgań wahadła fizycznego i twierdzenie Steinera otrzymuje się  $d = b/(2\sqrt{3})$ .

**8.15.R.** Dekrement logarytmiczny drgań wyraża się wzorem

$$(1) \quad \Lambda = \beta T_t = \frac{2\pi\beta}{\omega_t} = \frac{2\pi\beta}{\sqrt{\omega_0^2 - \beta^2}} = \frac{2\pi \frac{\beta}{\omega_0}}{\sqrt{1 - \left(\frac{\beta}{\omega_0}\right)^2}},$$

gdzie:  $\beta$  - współczynnik tłumienia,  $T_t$  - okres drgań tłumionych,  $\omega_t$  - częstość drgań tłumionych,  $\omega_0$  - częstość drgań własnych. Kiedy sprężyna zostanie skrócona do długości  $x$  to jej częstość drgań własnych zmieni się, ponieważ zmieni się jej współczynnik sprężystości do wielkości  $k_1 = kd/x$ , gdzie  $k$  jest współczynnikiem sprężystości całej sprężyny, a  $d$  długością całej sprężyny. Wobec tego zmieni się częstość drgań własnych  $\omega_1$

$$\omega_1 = \sqrt{\frac{k_1}{m}} = \sqrt{\frac{kd}{mx}} = \omega_0 \sqrt{\frac{d}{x}}.$$

Dekrement logarytmiczny drgań skróconej sprężyny  $\Lambda_1$  można wyrazić wtedy wzorem

$$(2) \quad \Lambda_1 = \frac{2\pi \frac{\beta}{\omega_1}}{\sqrt{1 - \left(\frac{\beta}{\omega_1}\right)^2}} = \frac{2\pi \frac{\beta}{\omega_0} \sqrt{\frac{x}{d}}}{\sqrt{1 - \left(\frac{\beta}{\omega_0}\right)^2 \frac{x}{d}}}.$$

Dalej dzieląc stronami równania (1) i (2) oraz obliczając  $\beta/\omega_0$  z równania (1) otrzymamy

$$x = d \frac{\Lambda_1^2}{\Lambda^2} \frac{4\pi^2 + \Lambda^2}{4\pi^2 + \Lambda_1^2} = 4\text{cm}.$$

**8.16.R.** W odstępie czasu  $\Delta t_2$  amplituda drgań zmalała  $n^{\Delta t_2/2\Delta t_1}$  razy.

**8.17.R.** Dekrement logarytmiczny drgań  $\Lambda_0$  można wyrazić wzorem

$$(1) \quad \Lambda_0 = \frac{2\pi \frac{\beta}{\omega_0}}{\sqrt{1 - \left(\frac{\beta}{\omega_0}\right)^2}},$$

(patrz zad.8.15.). Kiedy opór ośrodka wzrośnie  $n$  razy to współczynnik tłumienia też wzrośnie  $n$  razy. Szukany dekrement można wobec tego zapisać

$$(2) \quad \Lambda = \frac{2\pi n \frac{\beta}{\omega_0}}{\sqrt{1 - \left(\frac{\beta}{\omega_0}\right)^2 n^2}} = n\Lambda_0 \sqrt{\frac{1 - \left(\frac{\beta}{\omega_0}\right)^2}{1 - \left(\frac{\beta}{\omega_0}\right)^2 n^2}}.$$

Z równania (1) znajdujemy  $\beta/\omega_0$

$$(3) \quad \frac{\beta}{\omega_0} = \frac{\Lambda_0}{\sqrt{4\pi^2 + \Lambda_0^2}}$$

i podstawiając do równania (2) otrzymamy

$$\Lambda = \frac{2\pi n \Lambda_0}{\sqrt{4\pi^2 - \Lambda_0^2(n^2 - 1)}} = 3,3.$$

Oscylacje tłumione zachodzą przy spełnionym warunku  $\beta < \omega_0$ . Jeśli opór ośrodka wzrośnie  $m$  razy, tak, aby był spełniony warunek  $m\beta \geq \omega_0$  to wahadło nie będzie mogło drgać. Na podstawie równania (3) otrzymamy

$$m \geq \frac{\omega_0}{\beta} = \frac{\sqrt{4\pi^2 + \Lambda_0^2}}{\Lambda_0} = 4,3.$$

**8.18.R.** Logarytmiczny dekrement tłumienia wahadła wynosi

$$\Lambda = \frac{2\pi}{\sqrt{\frac{4g\tau^2}{d \ln^2 n} - 1}}.$$

**8.19.R.** Wskazówka. Oblicz drogę kulki  $s$  jako granicę sumy wartości bezwzględnych ekstremalnych wychyleń kulki z położenia równowagi.

$$s = d \frac{1 + e^{-\Lambda/2}}{1 - e^{-\Lambda/2}} \cong \frac{4d}{\Lambda} = 40 \text{ m}.$$



**8.20.R.** Równanie dynamiki dla masy  $m$  ma postać

$$m \ddot{x} = -kx + F_0 \sin(\omega t).$$

Po uporządkowaniu otrzymamy

$$(1) \quad \ddot{x} + \omega_0^2 x = \frac{F_0}{m} \sin(\omega t), \quad \omega_0^2 = \frac{k}{m}.$$

Rozwiązania ogólnego równania (1) szukamy w postaci sumy rozwiązania ogólnego równania jednorodnego  $\ddot{x} + \omega_0^2 x = 0$  i odgadniętego rozwiązania szczególnego równania (1). Rozwiązanie szczególne  $x_s$  postulujemy w formie

$$(2) \quad x_s = A_s \cos(\omega t) + B_s \sin(\omega t),$$

a rozwiązanie ogólne równania jednorodnego (patrz zad.8.1.)

$$(3) \quad x_1 = A \cos(\omega_0 t) + B \sin(\omega_0 t).$$

Stałe  $A_s$  i  $B_s$  znajdziemy kładąc równanie (2) do równania (1) i grupując razem wyrazy z sinusem i cosinusem. Otrzymamy:

$$(4) \quad A_s(\omega_0^2 - \omega^2) \cos(\omega t) + [B_s(\omega_0^2 - \omega^2) - \frac{F_0}{m}] \sin(\omega t) = 0,$$

$$\Rightarrow \quad A_s = 0 \quad \text{ i } \quad B_s = \frac{F_0}{m(\omega_0^2 - \omega^2)},$$

ponieważ równanie (4) powinno być spełnione w dowolnej chwili czasu  $t$ . Rozwiązanie ogólne przedstawia się więc następująco:

$$(5) \quad x(t) = A \cos(\omega_0 t) + B \sin(\omega_0 t) + \frac{F_0}{m(\omega_0^2 - \omega^2)} \sin(\omega t).$$

Stałe  $A$  i  $B$  znajdujemy z warunków początkowych  $x(t=0) = 0$  i  $v(t=0) = 0$ . Korzystając dwukrotnie z równania (5) otrzymamy

$$A = 0 \quad \text{ i } \quad B = -\frac{F_0 \omega}{m \omega_0 (\omega_0^2 - \omega^2)}.$$

Ostatecznie równanie opisujące wychylenie masy  $m$  z położenia równowagi ma postać

$$x(t) = \frac{F_0}{m(\omega_0^2 - \omega^2)} \left[ \sin(\omega t) - \frac{\omega}{\omega_0} \sin(\omega_0 t) \right].$$

Zaleca się czytelnikowi przeprowadzenie dyskusji powyższego wyrażenia.

**8.21.R.** Korzystamy z wzoru na amplitudę wychylenia  $D$  drgań wymuszonych o częstotliwości  $\omega$

$$(1) \quad D(\omega) = \frac{F_0}{m\sqrt{(\omega_0^2 - \omega^2)^2 + 4\beta^2\omega^2}},$$

gdzie:  $F_0$  – amplituda siły wymuszającej,  $m$  – masa ciała,  $\omega_0$  – częstość drgań własnych i  $\beta$  – współczynnik tłumienia. Należy znaleźć maksimum tej wielkości. W tym celu znajdziemy minimum funkcji pomocniczej  $g(\omega)$

$$g(\omega) = (\omega_0^2 - \omega^2)^2 + 4\beta^2\omega^2.$$

Obliczamy pochodną

$$\frac{dg(\omega)}{d\omega} = -4\omega(\omega_0^2 - \omega^2 + 2\beta^2)$$

i po przyrównaniu jej do zera sprawdzamy, że dla

$$\omega \equiv \omega_r = \sqrt{\omega_0^2 - 2\beta^2}$$

amplituda  $D$  ma maksimum rezonansowe (pod warunkiem  $\beta < \omega_0/\sqrt{2}$ ).

**8.22.R.**

$$\omega_r = \sqrt{\frac{\omega_1^2 + \omega_2^2}{2}}.$$

**8.23.R.** Biorąc pod uwagę równanie na wychylenie np. w postaci

$$x = D(\omega) \cos(\omega t + \varphi), \quad \Rightarrow \quad v \equiv \dot{x} = -D(\omega)\omega \sin(\omega t + \varphi),$$

mamy amplitudę prędkości  $C(\omega)$

$$C(\omega) = D(\omega)\omega = \frac{F_0\omega}{m\sqrt{(\omega_0^2 - \omega^2)^2 + 4\beta^2\omega^2}}.$$

Z treści zadania wynika, że  $C(\omega_1) = C(\omega_2)$ , skąd

$$\frac{F_0\omega_1}{m\sqrt{(\omega_0^2 - \omega_1^2)^2 + 4\beta^2\omega_1^2}} = \frac{F_0\omega_2}{m\sqrt{(\omega_0^2 - \omega_2^2)^2 + 4\beta^2\omega_2^2}}$$

i po kilku przekształceniach otrzymamy  $\omega_0 = \sqrt{\omega_1\omega_2}$ .

**8.24.R.** Odpowiedź częściowa: średnia moc siły oporu ośrodka wynosi

$$\bar{P}_{F_t} = -\frac{F_0^2 \beta \omega^2}{m[(\omega_0^2 - \omega^2)^2 + 4\beta^2 \omega^2]}.$$

**8.25.R.** Ponieważ

$$E_p = \frac{1}{2} m \omega_0^2 x^2 \quad \Rightarrow \quad \bar{E}_p = \frac{1}{2} m \omega_0^2 \frac{1}{T} \int_t^{t+T} x^2 dt,$$

a

$$\frac{1}{T} \int_t^{t+T} x^2 dt = \frac{D^2}{T} \int_t^{t+T} \cos^2(\omega t + \varphi) dt = \frac{D^2}{2},$$

to

$$\bar{E}_p = \frac{1}{4} m \omega_0^2 D^2.$$

Podobnie

$$E_k = \frac{1}{2} m v^2 \quad \Rightarrow \quad \bar{E}_k = \frac{1}{2} m \frac{1}{T} \int_t^{t+T} v^2 dt, \quad \text{gdzie } v = -D\omega \sin(\omega t + \varphi).$$

Ostatecznie otrzymamy

$$\bar{E}_k = \frac{1}{4} m \omega^2 D^2.$$

**8.26.R.** Załóżmy, że źródło fali znajduje się w początku układu współrzędnych. Równanie fali opisujące wychylenie  $s_A$  cząstek na płaszczyźnie A znajdującej się w odległości  $y$  od źródła ma wtedy postać:

$$(1) \quad s_A = s_0 \cos(\omega t - ky + \varphi) = s_0 \cos(\Phi_A),$$

a wychylenie  $s_B$  cząstek na płaszczyźnie B

$$(2) \quad s_B = s_0 \cos[\omega t - k(y + \Delta y) + \varphi] = s_0 \cos(\Phi_B),$$

gdzie:  $s_0$  – amplituda fali,  $\omega$  - częstość fali,  $k$  – wartość wektora falowego. Szukana różnica faz  $\Delta\Phi = \Phi_B - \Phi_A$  wynosi:

$$\Delta\Phi = -k\Delta y = -\frac{2\pi}{\lambda} \Delta y,$$

co oznacza, że drgania cząstek w płaszczyźnie B są opóźnione w fazie względem drgań cząstek w płaszczyźnie A o  $2\pi\Delta y/\lambda$  radianów.

**8.27.R.** Odpowiedź częściowa. Gęstość ośrodka można obliczyć z definicji

$$\rho(x, t) = \frac{\Delta m}{A[x + \Delta x + s(x + \Delta x, t) - x - s(x, t)]} \cong \frac{\Delta m}{A\Delta x(1 + \frac{\partial s}{\partial x})} \cong \rho_0[1 - s_0 k \sin(\omega t - kx)],$$

gdzie skorzystano z szeregu Taylora i założono małe odkształcenie ośrodka.

**8.28.R.** Wskazówka: Przedstawić wektory  $\vec{k}$  i  $\vec{r}$  w formie

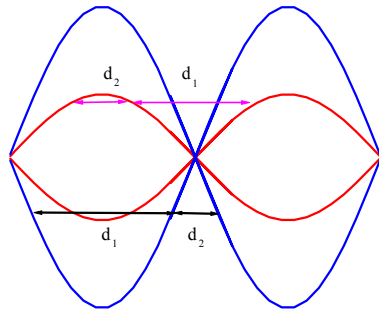
$$\vec{k} = k_x \vec{e}_x + k_y \vec{e}_y + k_z \vec{e}_z \quad \text{ i } \quad \vec{r} = x \vec{e}_x + y \vec{e}_y + z \vec{e}_z.$$

**8.29.R.** Na strunie musi znajdować się całkowita liczba połówek długości fali (struna zamocowana na końcach). Z treści zadania i z rysunku **8.29.R.** wynika, że  $d_1 + d_2 = \lambda/2$ , skąd  $\lambda = 2(d_1 + d_2)$ . Maksymalną amplitudę  $A_0$  obliczymy z wyrażenia

$$A_1 = A_{01} |\sin(kx_1)| \quad \Rightarrow \quad A_{01} = \frac{A_1}{\left| \sin\left(\frac{2\pi}{2(d_1 + d_2)} \frac{d_1}{2}\right) \right|} = 3,8 \text{ mm}$$

lub

$$A_1 = A_{02} |\sin(kx_2)| \quad \Rightarrow \quad A_{02} = \frac{A_1}{\left| \sin\left(\frac{2\pi}{2(d_1 + d_2)} \frac{d_2}{2}\right) \right|} = 9,1 \text{ mm},$$



**Rys.8.29.R.**

ponieważ  $x_1 = d_1/2$ , a  $x_2 = d_2/2$ . Fala stojąca odpowiada n-tej harmonicznej, gdzie  $n = b/(\lambda/2) = b/(d_1 + d_2) = 6$ .

**8.30.R.** Średnią energię kinetyczną policzymy korzystając z wzoru

$$\bar{\epsilon}_k \equiv \frac{1}{T} \int_t^{t+T} \epsilon_k dt = \frac{1}{T} \int_t^{t+T} \left[ \frac{1}{2} \rho \left( \frac{\partial s}{\partial t} \right)^2 \right] dt = 2ps_0^2 \omega^2 \cos^2(kx) \frac{1}{T} \int_t^{t+T} \sin^2(\omega t) dt = ps_0^2 \omega^2 \cos^2(kx).$$

Analogicznie policzymy średnią energię potencjalną

$$\bar{\varepsilon}_p \equiv \frac{1}{T} \int_t^{t+T} \varepsilon_p dt = \frac{1}{T} \int_t^{t+T} \left[ \frac{1}{2} \rho \frac{\omega^2}{k^2} \left( \frac{\partial s}{\partial x} \right)^2 \right] dt = \rho s_0^2 \omega^2 \sin^2(kx).$$

Węzły: w węzłach  $kx = (2m + 1)\pi/2$ , gdzie  $m$  jest liczbą całkowitą, więc

$$\bar{\varepsilon}_k = 0 \quad \text{i} \quad \bar{\varepsilon}_p = \rho s_0^2 \omega^2.$$

Strzałki: w strzałkach  $kx = m\pi$ , więc

$$\bar{\varepsilon}_p = 0 \quad \text{i} \quad \bar{\varepsilon}_k = \rho s_0^2 \omega^2.$$

**8.31.R.** Załóżmy, że źródło  $Z_1$  jest umieszczone w początku układu współrzędnych, a punkt P w odległości  $x$  od początku osi  $x$ . Fale docierające do punktu P mają wtedy postać:

$$(1) \quad s_1 = s_{01} \cos(\omega_1 t - k_1 x + \varphi_1) = s_{01} \cos(\Phi_1),$$

$$(2) \quad s_2 = s_{02} \cos(\omega_2 t - k_2 (x - d) + \varphi_2) = s_{02} \cos(\Phi_2).$$

Fala wypadkowa  $s = s_1 + s_2$ . Gęstość energii całkowitej można znaleźć z wyrażenia

$$(3) \quad \varepsilon = \frac{1}{2} \rho \left[ \left( \frac{\partial(s_1 + s_2)}{\partial t} \right)^2 + v_f^2 \left( \frac{\partial(s_1 + s_2)}{\partial x} \right)^2 \right] = \varepsilon_1 + \varepsilon_2 + \rho \frac{\partial(s_1)}{\partial t} \frac{\partial(s_2)}{\partial t} + \rho v_f^2 \frac{\partial(s_1)}{\partial x} \frac{\partial(s_2)}{\partial x},$$

gdzie

$$\varepsilon_1 = \frac{1}{2} \rho \left[ \left( \frac{\partial s_1}{\partial t} \right)^2 + v_f^2 \left( \frac{\partial s_1}{\partial x} \right)^2 \right] \quad \text{i} \quad \varepsilon_2 = \frac{1}{2} \rho \left[ \left( \frac{\partial s_2}{\partial t} \right)^2 + v_f^2 \left( \frac{\partial s_2}{\partial x} \right)^2 \right]$$

Po obliczeniu pochodnych cząstkowych w równaniu (3) otrzymamy

$$(4) \quad \varepsilon = \varepsilon_1 + \varepsilon_2 + 2\rho s_{01}s_{02}\omega_1\omega_2 \sin(\Phi_1)\sin(\Phi_2).$$

Wyrażenie (4) przekształcimy do dogodniejszej postaci

$$(5) \quad \varepsilon = \varepsilon_1 + \varepsilon_2 + \rho s_{01}s_{02}\omega_1\omega_2 [\cos(\Phi_1 - \Phi_2) - \cos(\Phi_1 + \Phi_2)],$$

$$(6) \quad \varepsilon = \varepsilon_1 + \varepsilon_2 + 2\sqrt{\bar{\varepsilon}_1 \bar{\varepsilon}_2} [\cos(\Phi_1 - \Phi_2) - \cos(\Phi_1 + \Phi_2)],$$

$$\text{gdzie} \quad \bar{\varepsilon}_1 = \frac{1}{2} \rho s_{01}^2 \omega_1^2 \quad \text{i} \quad \bar{\varepsilon}_2 = \frac{1}{2} \rho s_{02}^2 \omega_2^2$$

Z równania (6) obliczamy średnią gęstość energii

$$\bar{\varepsilon} = \bar{\varepsilon}_1 + \bar{\varepsilon}_2 + 2\sqrt{\bar{\varepsilon}_1 \bar{\varepsilon}_2} \left[ \frac{1}{T_1} \int_t^{t+T_1} \cos(\Phi_1 - \Phi_2) dt - \frac{1}{T_2} \int_t^{t+T_2} \cos(\Phi_1 + \Phi_2) dt \right],$$

$$(7) \quad \bar{\varepsilon} = \bar{\varepsilon}_1 + \bar{\varepsilon}_2 + 2\sqrt{\bar{\varepsilon}_1 \bar{\varepsilon}_2} \frac{1}{T_1} \int_t^{t+T_1} \cos(\Phi_1 - \Phi_2) dt,$$

ponieważ całka z sumą faz daje wartość zero. Trzeci wyraz po prawej stronie równania (7) nazywa się wyrazem interferencyjnym.

- a) Fale są niespójne. W tym przypadku całka w równaniu (7) jest równa zero i otrzymujemy wynik mówiący o prostym sumowaniu się średnich gęstości energii

$$\bar{\varepsilon} = \bar{\varepsilon}_1 + \bar{\varepsilon}_2.$$

- b) Fale są spójne. Różnica faz w równaniu (7) nie zależy od czasu ( $\omega_1 = \omega_2$  i różnica faz początkowych  $\varphi_1 - \varphi_2$  nie zależy od czasu). Otrzymamy wynik ( $k_1 = k_2 = k$ )

$$(8) \quad \bar{\varepsilon} = \bar{\varepsilon}_1 + \bar{\varepsilon}_2 + 2\sqrt{\bar{\varepsilon}_1 \bar{\varepsilon}_2} \cos(kd + \varphi_2 - \varphi_1).$$

W tym przypadku, jak widać, zachodzi zjawisko interferencji fal. Średnia czasowa gęstości energii oscyluje między

$$\bar{\varepsilon}_{\min} = \bar{\varepsilon}_1 + \bar{\varepsilon}_2 - 2\sqrt{\bar{\varepsilon}_1 \bar{\varepsilon}_2}, \quad \text{a} \quad \bar{\varepsilon}_{\max} = \bar{\varepsilon}_1 + \bar{\varepsilon}_2 + 2\sqrt{\bar{\varepsilon}_1 \bar{\varepsilon}_2}$$

w zależności od wartości argumentu funkcji cosinus w równaniu (8).

**8.32.R.** a) W odległości  $\frac{a}{\sqrt{p}} = 31,6$  m od punktu środkowego.

b) W odległości  $\frac{a}{\sqrt{p^2 + 2p}} = 21,8$  m od punktu środkowego.

**8.33.R.**

$$\bar{\Phi} = \frac{P}{\sqrt{1 + \left(\frac{2R}{h}\right)^2}}.$$

**8.34.R.** Korzystamy z relacji między prędkością grupową  $v_g$  i fazową  $v_f$

$$v_g = v_f - \lambda \frac{dv_f}{d\lambda} = v_f - \lambda d \quad \Rightarrow \quad v_{f1} = v_g + \lambda_1 d, \quad \text{ale} \quad v_{f1} = \frac{\omega_1 \lambda_1}{2\pi}, \text{ więc}$$

$$\omega_1 = 2\pi \left( \frac{v_g}{\lambda_1} + d \right).$$

Analogicznie

$$\omega_2 = 2\pi\left(\frac{v_g}{\lambda_2} + d\right).$$

**8.35.R.**

$$\frac{v_f}{v_g} = \frac{65}{64}.$$

**8.36.R.**

Stojąc w bezruchu na wadze po pewnym czasie otrzymałem stabilne wskazanie. Oznacza to, że siła sprężystości  $F_s$  zrównoważyła siłę ciężkości  $Q$  czyli:

$$F_s = kD = Q = mg \quad \text{dlatego} \quad k = \frac{mg}{D} = 10^5 \frac{N}{m}.$$

$$E_p = \frac{kx^2}{2} = 5J.$$

**8.37.R.**

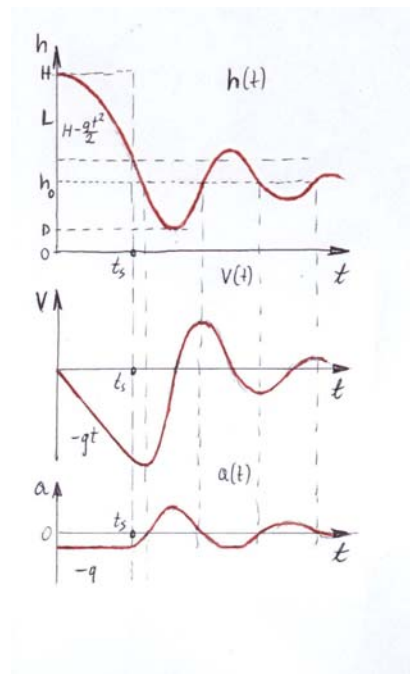
$$a/ \quad mg = k(H - h - L) \Rightarrow k = 750 \frac{N}{m},$$

$$E_p = \frac{kx^2}{2} = \frac{k(H - D - L)^2}{2} = 9375J.$$

$$b/ \quad \Delta E = mg(H - D) - E_p = 1875J,$$

$$c/ \quad a \approx 5g,$$

$$d/ \quad \dots$$



**8.38.R.**

a/ prawo zachowania pędu i energii przy zderzeniu

sprężystym:  $\vec{p}_k + \vec{p}_T = \vec{p}_k' + \vec{p}_T'$  oraz  $E_k + E_T = E_k' + E_T'$ .

Z powyższych praw wynika, że po zderzeniu kulka chwilowo się zatrzyma i następnie zacznie spadać swobodnie natomiast tarcza tuż po uderzeniu zacznie poruszać się poziomo z prędkością  $V_0$ . Od tego momentu tarcza będzie się poruszać ruchem harmonicznym opisany równaniem:  $x(t) = A \sin(\omega_0 t - \varphi)$ .

Z warunków początkowych tego ruchu wynika:

$$\omega_0 = \sqrt{\frac{g}{l}},$$

$$x(0) = 0 = A \sin(\omega_0 \cdot 0 - \varphi) = A \sin(-\varphi) \quad \text{czyli} \quad \varphi = 0$$

$$V(t) = \frac{dx}{dt} = A \omega_0 \cos(\omega_0 t - \varphi) \Rightarrow V(0) = A \omega_0 \cos(-\varphi) = V_0 \quad \text{czyli} \quad A = \frac{V_0}{\omega_0}.$$

Pełny opis ruchu:  $x(t) = \frac{V_0}{\omega_0} \sin\left(\sqrt{\frac{g}{l}} t\right)$ . Uwaga: początek osi X znajduje się w tarczy a jej

kierunek jest zgodny z kierunkiem  $V_0$ .

b/ zastosować prawo zachowania pędu dla tego przypadku a reszta jak w punkcie a.

### 8.39.R.

Ruch harmoniczny tłumiony opisuje równanie:

$$x(t) = Ae^{-\beta t} \sin(\omega t - \varphi), \text{ gdzie: } \Lambda = \beta T \quad i \quad \omega = \sqrt{\omega_0^2 - \beta^2}.$$

Z warunków zadania wynika:

$$\omega_0 = \sqrt{\frac{g}{l}},$$

$$x(0) = 0 = Ae^{-\beta \cdot 0} \sin(\omega \cdot 0 - \varphi) = A \sin(-\varphi) = 0, \quad \text{czyli} \quad \varphi = 0$$

$$V(t) = \frac{dx}{dt} = A\omega e^{-\beta t} \cos(\omega t - \varphi) - A\beta e^{-\beta t} \sin(\omega t - \varphi) \Rightarrow V(0) = A\omega = V_0 \quad \text{czyli} \quad A = \frac{V_0}{\omega}.$$

Równanie ruchu dla układu z zadania ma postać:

$$x(t) = \frac{V_0}{\omega} e^{-\Lambda \frac{t}{T}} \sin(\omega t).$$

### 8.40.R.

$$\Lambda = \beta T,$$

$$\omega = \sqrt{\omega_0^2 - \beta^2} \Rightarrow \frac{2\pi}{T} = \sqrt{\frac{4\pi^2}{T_0^2} - \beta^2},$$

$$\beta = \frac{\Lambda}{T} = \frac{\Lambda}{2\pi} \sqrt{\frac{4\pi^2}{T_0^2} - \beta^2} \Rightarrow \beta = \frac{\Lambda}{T_0} \frac{1}{\sqrt{1 + \frac{\Lambda^2}{4\pi^2}}}$$

$$\Lambda = \beta T_0 \sqrt{1 + \frac{\Lambda^2}{4\pi^2}} \approx \beta T_0 \left(1 - \frac{\Lambda^2}{8\pi^2}\right).$$

Z ostatniego równania wynika, że  $\Lambda = \beta T_0$  będzie dobrym przybliżeniem gdy:

$$\frac{\Lambda^2}{8\pi^2} \leq 0,01, \quad \text{czyli} \quad \Lambda \leq 0,9. \quad \text{W takim przypadku mówimy o słabo tłumionych drganiach.}$$

### 8.41.R.

Na mocy poprzedniego zadania możemy napisać:  $\Lambda = \beta T = \beta T_0$ .

Ponieważ

$$E \propto A^2 \quad i \quad A(t) = A_0 e^{-\beta t} \quad \text{to} \quad E(t) = E_0 e^{-2\beta t}.$$

$$\text{Dla warunków z zadania:} \quad E(t_x) = \frac{1}{2} E_0 = E_0 e^{-2\beta t_x} \quad \text{czyli} \quad t_x = \frac{\ln 2}{2\Lambda f_0} = 3,47 \cdot 10^{-5} s.$$



**8.42.R.**

$$A(t) = A_0 e^{-\beta t} \quad \text{to} \quad A(t_8) = \frac{1}{8} A_0 = A_0 e^{-\beta t_8} \quad \text{czyli} \quad \beta = \frac{\ln 8}{t_8} \quad \text{i} \quad \Lambda = \beta T = \frac{\ln 8}{t_8} T = 0,52.$$

$$\omega = \sqrt{\omega_0^2 - \beta^2} \Rightarrow \omega_0 = \sqrt{\omega^2 + \beta^2} = \sqrt{\omega^2 + \frac{\Lambda^2}{T^2}} = 6,32 \frac{1}{s} \Rightarrow f_0 \approx 1 \text{ Hz}.$$

**8.43.R.**

Wskazówka:

1. zastosować prawo zachowania energii dla stanu układu A i B (rys),
2. znaleźć pierwiastki równania kwadratowego i wybrać odpowiednie rozwiązanie.

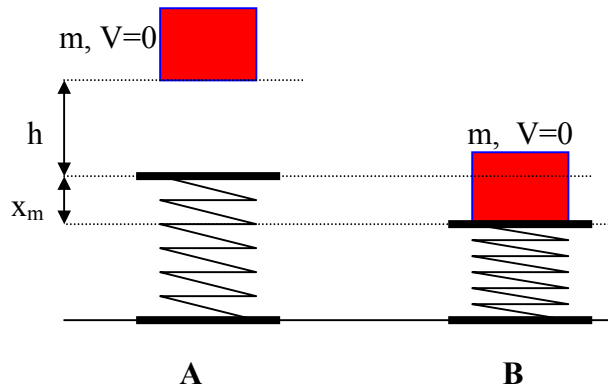
Wynik:

Maksymalne ściśnięcie sprężyny

$$x_m = D \left( 1 + \sqrt{1 + \frac{2h}{D}} \right) = 6 \text{ cm}.$$

Chwilowe wskazanie  $m_{maks.} = 600 \text{ kg}$ .

Uwaga: w rzeczywistych wagach wielkość przemieszczenia szalki jest ograniczona konstrukcyjnie.

**8.44.R.**

Wynik:  $R = 0,1 \text{ m}$ .

**8.45.R.**

Ogólny opis tej fali będzie następujący:  $s(x, t) = A \sin(\omega t - kx)$ . Jest to równanie fali płaskiej, poruszającej się wzdłuż osi X o zwrocie  $(+\infty)$ .

Parametry fali:

amplituda fali  $A = 10^{-6} \text{ m}$ ,

częstość fali  $\omega = 2040 \pi \text{ s}^{-1}$ ,

częstotliwość fali  $f = \frac{\omega}{2\pi} \approx 1020 \text{ Hz}$ ,

długość wektora falowego  $k = 6\pi \text{ m}^{-1}$ ,

długość fali  $\lambda = \frac{2\pi}{k} = 0,33 \text{ m}$ ,

prędkość fali (fazowa)  $V = \frac{\omega}{k} = \lambda f = 340 \frac{\text{m}}{\text{s}}$ ,

prędkość drobin ośrodka:

$$V_d = \frac{\partial s}{\partial t} = A\omega \cos(\omega t - kx) \quad \text{czyli} \quad V_{\max.} = A\omega = 0,0204\pi \frac{\text{m}}{\text{s}} = 0,064 \frac{\text{m}}{\text{s}},$$

przyspieszenie drobin ośrodka:

$$a_d = \frac{\partial^2 s}{\partial t^2} = -A\omega^2 \sin(\omega t - kx) \quad \text{czyli} \quad a_{\max.} = A\omega^2 = 410 \frac{\text{m}}{\text{s}^2},$$

względne odkształcenie ośrodka:

$$\frac{\partial s}{\partial x} = -Ak \cos(\omega t - kx) \quad \text{czyli} \quad \frac{\partial s}{\partial x}_{\max} = Ak = 2,18 \cdot 10^{-3}.$$

#### 8.46.R.

Może to być równanie:

$$z(y, t) = A \sin\left(\frac{2\pi V}{\lambda} t + \frac{2\pi}{\lambda} y\right).$$

#### 47.R.

Najbardziej prawdopodobne wzbudzenia fal stojących:

a/fala poprzeczna lub podłużna o długości  $\lambda = \frac{4}{2n-1}L$  gdzie  $n = 1, 2, 3, \dots$

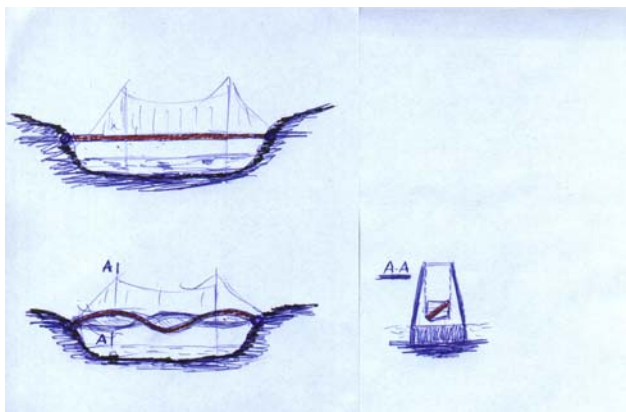
b/fala poprzeczna lub podłużna o długości  $\lambda = \frac{2}{n}L$  gdzie  $n = 1, 2, 3, \dots$

c/fala poprzeczna lub podłużna o długości  $\lambda = \frac{1}{2n-1}L$  gdzie  $n = 1, 2, 3, \dots$

d/fala podłużna o długości  $\lambda = \frac{4}{2n-1}H$  gdzie  $n = 1, 2, 3, \dots$

e/fala podłużna o długości  $\lambda = \frac{2}{n}L$  gdzie  $n = 1, 2, 3, \dots$

#### 8.48.R.



Więcej ciekawych informacji na ten temat można znaleźć w sieci.

#### 8.49.R.

Korzystając z zależności  $V_g = V_f - \lambda \frac{dV_f}{d\lambda}$  otrzymamy:

$$V_g = \frac{3}{2}V_f \quad \text{dla} \quad \lambda < 2\text{cm} \quad \text{oraz} \quad V_g = \frac{1}{2}V_f \quad \text{dla} \quad \lambda > 2\text{cm}.$$

#### 8.50.R.

Długości wygenerowanych w ten sposób fal są rzędu metrów. Są to fale długie, dla których

$$\text{mamy (patrz zadanie 8.49.) } V_f = \sqrt{\frac{g\lambda}{2\pi}} \quad \text{oraz} \quad V_f = 2V_g.$$

Odpowiedź:  $V_f = 2\frac{m}{s}$ ,  $\lambda = 2,5m$ .

Uwaga: rezultatem związku  $V_f > V_g$  jest zjawisko powstawania fal na końcu paczki falowej, przesuwania się ich do początku paczki i zaniku w obszarze czoła tej paczki.